

Introduction
A quantitative gamma-ray spectrometric and aeromagnetic airborne geophysical survey of the Northwestern Athabasca Basin, Saskatchewan, was completed by Goldair Airborne Surveys. The survey was flown from June 24th to September 21st, 2010 using two Piper PA-31 Navajo aircraft (C-GJBA, C-GJBB) and one Cessna Caravan (C-GLDX).

Gamma-ray Spectrometric Data
The airborne gamma-ray measurements were made with a Radiation Solutions RS-500 gamma-ray spectrometers using fourteen 102x102x406 mm NaI (Tl) crystals. The main detector array consisted of twelve crystals (total volume 50.4 litres). Two crystals (total volume 8.4 litres), shielded by the main array, were used to detect variations in background radiation caused by atmospheric radon.

Corrected data were filtered and interpolated to a 100 m grid interval. The results of an airborne gamma-ray spectrometry survey represent the average surface concentrations that are influenced by varying amounts of outcrop, overburden, vegetation cover, soil moisture and surface water. As a result the measured concentrations are usually lower than the actual bedrock concentrations.

Magnetic Data
The magnetic field was sampled 10 times per second using a split-beam cesium vapour magnetometer (sensitivity = 0.005 nT) rigidly mounted to the aircraft. Differences in magnetic values at the intersections of control lines were used to obtain a mutually leveled set of flight line magnetic data.

The first vertical derivative of the magnetic field is the rate of change of the magnetic field in the vertical direction. Computation of the first vertical derivative removes long wavelength features of the magnetic field and clearly improves the resolution of closely spaced and suppressed anomalies. A plot of first vertical derivative maps is the longitude of the zero-value contour with vertical contacts of magnetic units at high magnetic latitudes (Hood, 1965).

LEVÉ GÉOPHYSIQUE DE LA PARTIE NORD-OUEST DU BASSIN ATHABASCA / SASKATCHEWAN

Introduction
Un levé géophysique aéroporté combinant l'acquisition de données de spectrométrie gamma et de données magnétique a été réalisé dans la partie nord-ouest du bassin de l'athabasca en Saskatchewan par la société Goldair Airborne Surveys. Le levé a été effectué du 24 juin au 21 septembre 2010, à bord de deux avions Piper PA-31 Navajo (C-GJBA, C-GJBB) et un Cessna Caravan (C-GLDX). L'enclenchement total des lignes de vol était de 400 m et celui des lignes de contrôle de 2 400 m. L'altitude nominale de vol était de 120 m au-dessus du sol et la vitesse était comprise entre 200 km/h et 270 km/h. Les lignes de vol étaient orientées à 135° et les lignes de contrôle leur étaient perpendiculaires.

Données de spectrométrie gamma
Les mesures du rayonnement gamma ont été effectuées à l'aide d'un spectromètre gamma Radiation Solutions RS-500 utilisant quatorze cristaux de NaI (Tl) de 102x102x406 mm. Le tableau de capteurs principal se composait de douze cristaux (volume total de 50,4 litres). Deux cristaux (volume total de 8,4 litres), protégés par le tableau principal, ont été utilisés pour détecter les variations du rayonnement naturel causées par le radon atmosphérique.

Le potassium est mesuré directement grâce aux photons gamma de 1 460 keV émis par le K⁴⁰, tandis que l'uranium et le thorium sont mesurés indirectement d'après les photons gamma émis par des produits de fission (Bi²¹⁴ pour l'uranium et Th²³² pour le thorium). Bien que ces radionucléides de fission se trouvent loin dans leur chaîne respective de désintégration, on présume qu'ils sont en équilibre avec leur radionucléide père, ainsi, les mesures spectrométriques du rayonnement gamma de l'uranium et du thorium sont désignées comme des équivalents d'uranium et des équivalents de thorium, soit eU et eTh. Les plages d'énergie utilisées pour mesurer le potassium, l'uranium et le thorium sont respectivement : de 1 370 à 1 570 keV, de 1 860 à 1 860 keV et de 2 410 à 2 810 keV. Le débit total de la dose absorbée par l'air, en nanograys à l'heure, a été déterminé d'après les coups mesurés dans la plage de 400 à 2910 keV.

Les spectres du rayonnement gamma ont été enregistrés à intervalle d'une seconde. Le traitement des données a suivi les procédures standards décrites dans IAEA, 1991 et IAEA, 2003. Pendant le traitement, les spectres ont été soumis à un étalonnage énergétique et les coups ont été cumulés dans les plages d'énergie cibles. Les coups obtenus à l'aide des compteurs de radon ont été enregistrés dans la plage de 1 600 à 1 950 keV et le rayonnement à des énergies supérieures à 3 000 keV a été enregistré dans la plage du rayonnement cosmique. Les coups enregistrés dans les plages ont été corrigés pour tenir compte du temps mort instrument, du rayonnement cosmique, de la radioactivité de l'aéronef et des produits de désintégration du radon atmosphérique. Les données ont ensuite été corrigées pour tenir compte de la diffusion spectrale dans le sol, l'air et les capteurs. Les corrections pour les écarts à la hauteur de vol prévue et pour les variations de température et de pression ont ensuite été effectuées. Finalement, la conversion en concentrations équivalentes au sol de potassium, d'uranium et de thorium a été réalisée en utilisant des facteurs adéquat lors de vols effectués au-dessus de la bande d'étalonnage de Danville, Saskatchewan. Les facteurs pour le potassium, l'uranium et le thorium sont présentés au Tableau 1. Pour la mise en carte, on filtre à été appliqué aux données corrigées, qui ont ensuite été interpolées suivant une grille à maille de 100 m.

Tableau 1. Sensibilités des spectromètres de chacun des aéronaves. Table with 3 columns: C-GJBA, C-GJBB, C-GLDX and 3 rows: Potassium (ppm%), Uranium (ppm), Thorium (ppm).

Les résultats d'un levé aéroporté de spectrométrie gamma représentent les concentrations moyennes à la surface. Celles-ci sont influencées par les étendues variables des affleurements, des morts-terrains, de la couverture végétale et de l'eau de surface. Par conséquent, les concentrations mesurées sont habituellement plus faibles que les concentrations existantes dans le substratum rocheux.

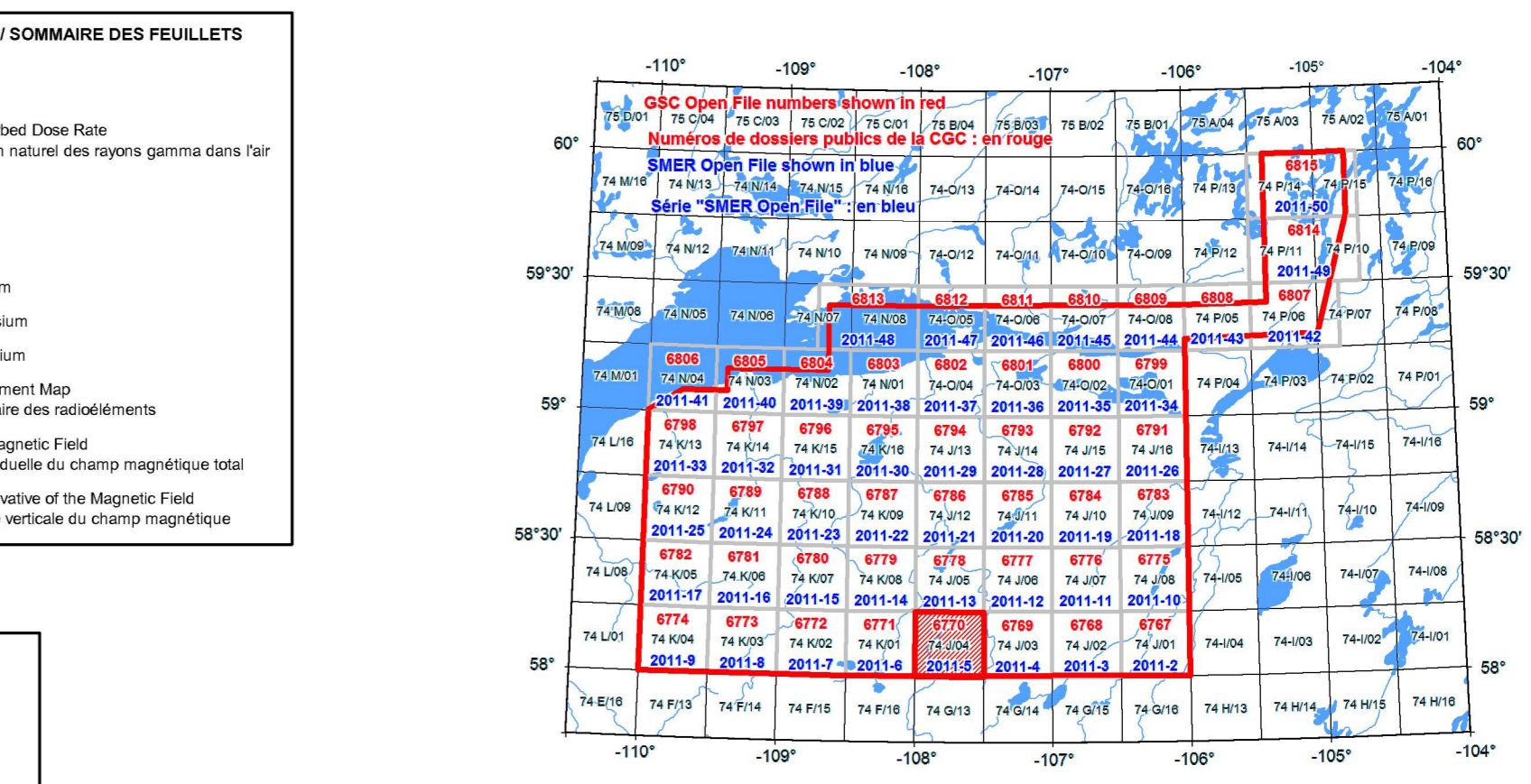
Données sur le champ magnétique
Le champ magnétique a été échantillonné 10 fois par seconde à l'aide d'un magnétomètre à vapeur de césium à faisceau partagé (sensibilité = 0,005 nT) rigidement fixé à l'aéronef. Les différences de valeur du champ magnétique aux intersections des lignes de contrôle et des lignes de vol ont été analysées afin d'obtenir un ensemble de données sur le champ magnétique mutuellement nivelées sur les lignes de vol. Ces valeurs nivelées ont ensuite été interpolées suivant une grille à maille de 100 m. Le champ géomagnétique international de référence (International Geomagnetic Reference Field, IGRF) défini à l'altitude moyenne de 510 m au-dessus du sol par les données GPS pour l'année 2010, a été soustrait. La soustraction de l'IGRF, qui représente le champ magnétique du noyau terrestre, fournit une composante résiduelle essentiellement reliée à la magnétisation de l'écorce terrestre.

La dérivée première verticale du champ magnétique représente le taux auquel varie le champ magnétique suivant la verticale. Le calcul de la dérivée première verticale supprime les composantes de grande longueur d'onde du champ magnétique et améliore considérablement la résolution des anomalies rapprochées les unes des autres ou superposées. L'une des propriétés des cartes de la dérivée première verticale est la coïncidence de la fragmentation de valeur zéro et des contacts verticaux aux hautes latitudes magnétiques (Hood, 1965).

References
Hood, P.J., 1965. Gradient measurements in aeromagnetic surveying. Geophysics, v.30, p.891-902.
International Atomic Energy Agency, 1991. Airborne gamma ray spectrometry surveying. Technical Reports Series 323, IAEA, Vienna.
International Atomic Energy Agency, 2003. Guide lines for radiometric mapping using gamma ray spectrometry data. Technical Reports Series 1363, IAEA, Vienna

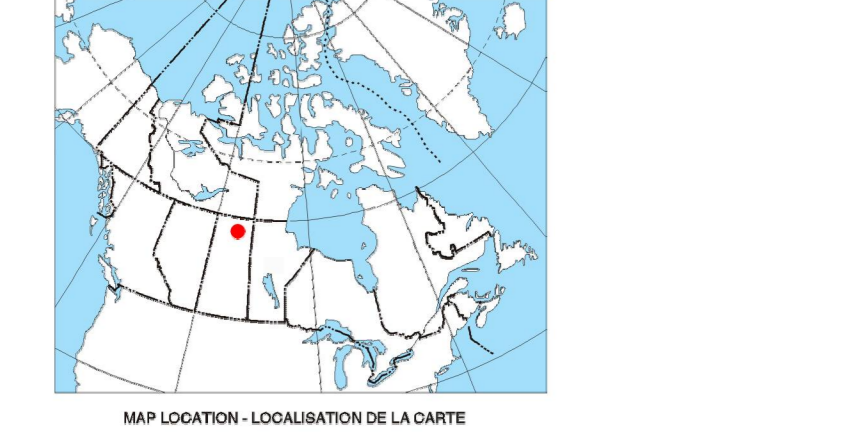
PLANIMETRIC SYMBOLS / SYMBOLES PLANIMÉTRIQUES. Table with 2 columns and 4 rows: Drainage, Highway, Flight line, and Autoute.

NATIONAL TOPOGRAPHIC SYSTEM REFERENCE AND GEOGRAPHIC MAP INDEX / SYSTÈME NATIONAL DE RÉFÉRENCE CARTOGRAPHIQUE ET INDEX DES CARTES GÉOPHYSIQUES



This airborne geophysical survey and the production of this map were funded by the Saskatchewan Ministry of Energy and Resources and the GEM-Energy Program of the Earth Sciences Sector, Natural Resources Canada.

Ce levé géophysique aéroporté et la production de cette carte ont été financés par le ministère de l'Énergie et des Ressources de la Saskatchewan et le programme GEM-Energie du Secteur des sciences de la Terre, Ressources naturelles Canada.



GSC OPEN FILE 6770 / DOSSIER PUBLIC 6770 DE LA CGC / SMER OPEN FILE 2011-5
GEOPHYSICAL SERIES / SÉRIE DES CARTES GÉOPHYSIQUES
AIRBORNE GEOPHYSICAL SURVEY OF THE NORTHWESTERN ATHABASCA BASIN, SASKATCHEWAN / LEVÉ GÉOPHYSIQUE AÉROPORTÉ DE LA PARTIE NORD-OUEST DU BASSIN ATHABASCA, SASKATCHEWAN
NTS 74 J/04 Brudell Lake / SNRC 74 J/04 Brudell Lake

NATURAL AIR ABSORBED DOSE RATE / TAUX D'ABSORPTION NATUREL DES RAYONS GAMMA DANS L'AIR

Authors: Fortin, R., Coyle, M., Buckle, J., Hefford, S.W. and Delaney, G.
Scale 1:50 000 - Échelle 1/50 000
Auteurs : Fortin, R., Coyle, M., Buckle, J., Hefford, S.W. et Delaney, G.



Universal Transverse Mercator Projection / Projection transversale universelle de Mercator
Digital topographic data provided by Geomatics Canada, Natural Resources Canada / Données topographiques numériques de Géomatique Canada, Ressources naturelles Canada

Digital versions of this map, corresponding digital profile and gridded data, and similar data for adjacent aeromagnetic and gamma-ray spectrometric surveys can be downloaded, at no charge, from Natural Resources Canada's Geoscience Data Repository at http://gdr.nrcan.gc.ca.

On peut télécharger gratuitement, depuis l'Entrepôt de données géoscientifiques de Ressources naturelles Canada à l'adresse Web http://gdr.nrcan.gc.ca, des versions numériques de cette carte, des données numériques correspondantes en format profil et en format maille, ainsi que des données similaires issues des levés aéromagnétiques et spectrométriques adjacents. On peut se procurer les mêmes produits, moyennant des frais, en s'adressant au Centre de données géophysiques de la Commission géologique du Canada, 615, rue Booth, Ottawa (Ontario) K1A 0G9; Téléphone : (613) 995-5326; courriel : info@gdr.nrcan.gc.ca.

Open file products that have not gone through the GSC normal publication process. Les dossiers publics sont des produits qui n'ont pas été soumis au processus officiel de publication de la CGC.

MAP SHEET SUMMARY / SOMMAIRE DES FEUILLETS
OPEN FILE 2011-5
SASKATCHEWAN MINISTRY OF ENERGY AND RESOURCES
2011 SHEET 1 OF 10 FEUILLET 1 DE 10
OPEN FILE DOSSIER PUBLIC 6770
SHEET 1 OF 10 FEUILLET 1 DE 10

Recommended citation: Fortin, R., Coyle, M., Buckle, J., Hefford, S. and Delaney, G., 2011. Geophysical Series, Airborne Geophysical Survey of the Northwestern Athabasca Basin, Saskatchewan, NTS 74 J/04, Brudell Lake. Geological Survey of Canada, Open File 6770. Saskatchewan Ministry of Energy and Resources (SMER), Open File 2011-5; scale 1:50,000.
Notation bibliographique conseillée: Fortin, R., Coyle, M., Buckle, J., Hefford, S. et Delaney, G., 2011. Série des cartes géophysiques: Levé géophysique aéroporté de la partie nord-ouest du bassin Athabasca, Saskatchewan, SNRC 74 J/04, Brudell Lake. Commission géologique du Canada, Dossier public 6770. Ministère de l'Énergie et des Ressources de la Saskatchewan (SMER), Open File 2011-5; échelle 1:50 000.